

บทที่ 2

ทฤษฎีเกี่ยวกับ

บทนี้จะกล่าวถึงหลักการและทฤษฎีพื้นฐานที่จำเป็นต่องานวิจัย โดยแยกเป็นหัวข้อดังนี้
ลักษณะการผิดรูปและรอยโรคแบบ Spiculate บนภาพถ่ายรังสีเต้านม เทคนิคการประมวลผลภาพ
ลักษณะ โครงสร้างเชิงเส้น วิธีตรวจหาโครงสร้างเชิงเส้นบนภาพถ่ายรังสีเต้านมด้วย LSI

2.1 ลักษณะการผิดรูปและรอยโรคแบบ Spiculate บนภาพถ่ายรังสีเต้านม

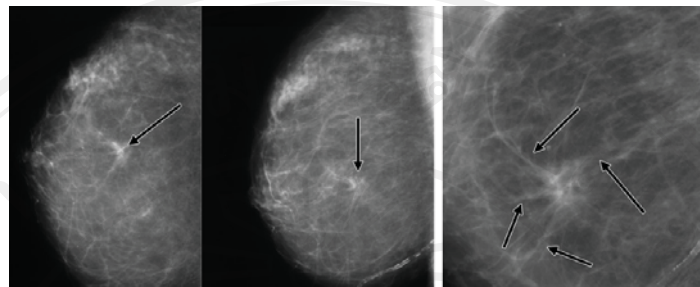
การตรวจหามะเร็งเต้านมจากการถ่ายภาพรังสีเต้านม (Mammogram) เป็นการตรวจคัดกรองมะเร็งเต้านมเพื่อหาความผิดปกติในระยะเริ่มต้นและดูว่าความผิดปกติที่เห็นนั้นจัดอยู่ในกลุ่มใดจะได้ทำการวินิจฉัยได้อย่างเหมาะสม [33] ความผิดปกติที่เห็นบนภาพถ่ายรังสีเต้านม เช่น ก้อนเนื้อ กลุ่มหินปูน การผิดรูปของเนื้อเยื่อเต้านม การมีความหนาแน่นของเต้านมที่ไม่เท่ากันทั้งสองข้าง การพบภาวะที่เต้านมโตขึ้นหรือบวม (Edema of the breast) และการมีความผิดปกติรวมกันหลายอย่าง (Combination) เช่น อาจมีก้อนเนื้อกับกลุ่มหินปูน มิก้อนเนื้อกับการผิดรูปของเนื้อเยื่อเต้านม หรือมีกลุ่มหินปูนกับการผิดรูปของเนื้อเยื่อเต้านม เป็นต้น

การผิดรูปของเนื้อเยื่อเต้านมเป็นความผิดปกติในระยะเริ่มต้นที่เป็นสัญญาณบ่งบอกถึงมะเร็งเต้านมและยังพบอีกว่าเป็นความผิดปกติที่มักจะซ่อนหรือแอบแฝงอยู่ภายในเนื้อเยื่อเต้านม ปกติทำให้ตรวจไม่พบจากการถ่ายภาพรังสีเต้านม แสดงดังรูปที่ 1 ลักษณะการผิดรูปของเนื้อเยื่อเต้านมที่ปรากฏให้เห็นบนภาพถ่ายรังสีเต้านม คือ เนื้อเยื่อเต้านมถูกดึงรัดให้เกิดการบิดเบี้ยวไปจากปกติ โดยที่ยังไม่ปรากฏให้เห็นเป็นก้อนเนื้อ อาจพบรอยโรคแบบ Spiculate หรือ Stellate แสดงดังรูปที่ 2 เกิดขึ้นร่วมด้วย ลักษณะของ Spiculate หรือ Stellate ที่ทำให้เกิดมะเร็งเต้านมมีดังนี้

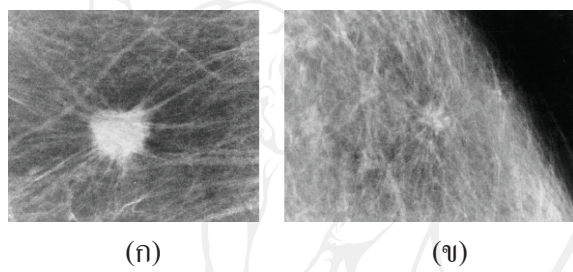
1. เป็นเส้นที่มีการกระจายออกมายกทุกทิศทางจากบริเวณที่ถูกดึงรัด
2. มีความหนาแน่นมากกว่าปกติ (ขาวกว่าบริเวณรอบๆที่เป็นเนื้อเยื่อเต้านมปกติ)
3. มีลักษณะแบบ lace-like
4. มีการพันกันของโครงสร้าง (Fine reticular radiating structure) ทำให้เนื้อแท้หัวใจ เกิดการผิดรูปหรือบิดเบี้ยวไปจากเดิม

หากพบความผิดปกติในลักษณะเช่นนี้บนถ่ายภาพรังสีเต้านม ก็จะเป็นสิ่งสำคัญที่บ่งบอกถึงมะเร็งเต้านมในระยะเริ่มต้นได้ สำหรับลักษณะของ Spiculate หรือ Stellate ที่ไม่ใช่มะเร็งเต้านม คือ เป็นเส้นบางๆค่อนข้างขาว มีความหนาแน่นต่ำ มีความโปร่งต่อรังสี (Radiolucent) แสดงดังรูป

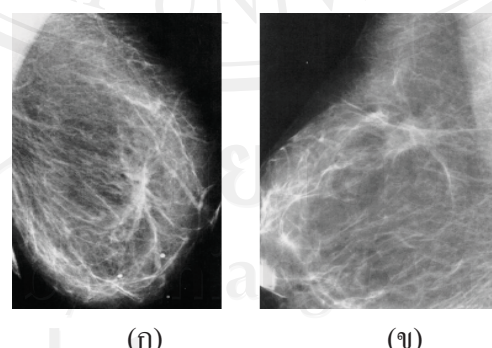
ที่ 3 มีการเปรียบเทียบภาพถ่ายรังสีเต้านมและลักษณะโครงสร้างเชิงเส้นที่ปรากฏบนภาพถ่ายรังสีเต้านมในบริเวณเนื้อเยื่อเต้านมที่เห็นบนภาพถ่ายรังสีเต้านมที่พบรอยโรคแบบ Spiculate แสดงดังรูปที่ 4



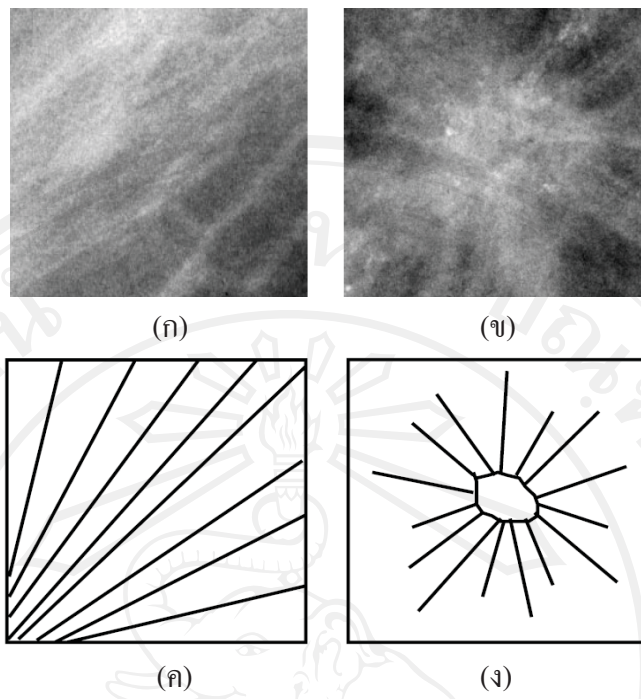
รูปที่ 1 การผิดรูปของเนื้อเยื่อเต้านมที่เห็นบนภาพถ่ายรังสีเต้านม



รูปที่ 2 ตัวอย่างรอยโรคแบบ Spiculate หรือ Stellate ที่เป็นมะเร็งเต้านม (ก) เส้นที่มีการกระจายออกมากทุกๆ ทิศทางและมีความหนาแน่นมากกว่าปกติ (ข) มีลักษณะแบบ lace-like และมีการพันกันของโครงสร้างทำให้เนื้อเยื่อเต้านมผิดรูปหรือบิดเบี้ยวไปจากเดิม



รูปที่ 3 ตัวอย่างรอยโรคแบบ Spiculate หรือ Stellate ที่ไม่ใช่มะเร็งเต้านม (ก) ตำแหน่งงอกคล้ายรอยโรคจะโปรดังต่อรังสีและมีขอบเรียบ (ข) เป็นเส้นบางๆ ค่อนข้างยาวและมีความหนาแน่นต่ำ



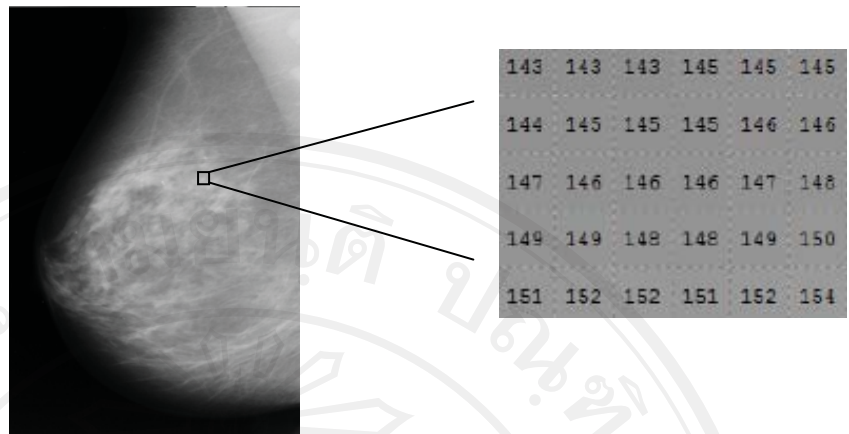
รูปที่ 4 (ก) บริเวณเนื้อเยื่อเต้านมปกติที่เห็นบนภาพถ่ายรังสีเต้านม (ข) รอยโรคแบบ Spiculate ที่เห็นบนภาพถ่ายรังสีเต้านม (ค) โครงสร้างเชิงเส้นของเนื้อเยื่อปกติจะอยู่ในทิศทางเดียวกัน (ง) ลักษณะ โครงสร้างเชิงเส้นของรอยโรคแบบ Spiculate จะมีการกระจายออกตามทุกทิศทาง

2.2 เทคนิคการประมวลผลภาพ

การวิจัยนี้ใช้ภาพดิจิตอลในการทดลอง มีข้อดีคือ สามารถจัดการกับภาพได้หลากหลายวิธี ความรู้เกี่ยวกับเทคนิคการประมวลผลภาพที่นำมาใช้มีดังนี้

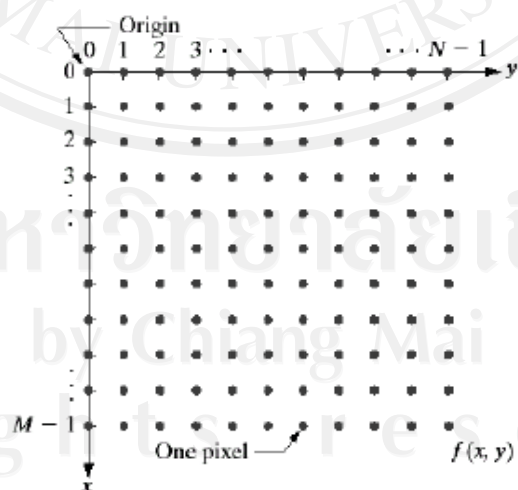
2.2.1 ความรู้เกี่ยวกับภาพดิจิตอล

ในการประมวลผลภาพดิจิตอลเมื่อคอมพิวเตอร์ได้รับข้อมูลภาพเข้าไปแล้วจะทำการคำนวณและส่งออกมาเป็นข้อมูลที่ใช้แทนข้อมูลภาพดิจิตอลเหล่านั้น การเก็บข้อมูลภาพลงหน่วยความจำของคอมพิวเตอร์สามารถทำได้โดยการจองหน่วยความจำของเครื่องไว้ในรูปของตัวแปร Array ที่เป็นโครงสร้างของข้อมูลที่จัดเรียงข้อมูลได้หลายมิติ ภาพดิจิตอลประกอบด้วยจุดภาพเล็กๆจำนวนมากที่เรียกว่า พิกเซล (Pixel) และคงดังรูปที่ 5 ค่าในแต่ละช่องแสดงถึงค่าความเข้มของจุดภาพ (Intensity) และตำแหน่งของ Array จะเป็นตัวกำหนดตำแหน่งของจุดภาพ



รูปที่ 5 ภาพดิจิตอลซึ่งประกอบด้วยจุดภาพเล็กๆจำนวนมาก โดยตัวเลขที่อยู่ในแต่ละช่องจะแสดงถึงค่าความเข้มของจุดภาพ

การจัดเก็บรูปภาพจะจัดเก็บข้อมูลของภาพไว้ในรูปของเมทริกซ์ สมมติว่าภาพมีขนาด $m \times n$ (จำนวนแถวแนวนอน \times จำนวนแนวตั้ง) ค่าของจุดภาพของภาพที่แทนด้วยเลขจำนวนเต็มจะสามารถอ้างอิงกับเมทริกซ์ได้ ดังเช่น จุดภาพที่อยู่ณ ตำแหน่งจุดกำหนดมีค่า $(x, y) = (0,0)$ จะเท่ากับเมทริกซ์แถวแนวนอนที่ 0 แถวแนวตั้งที่ 0 และพิกัดที่อยู่บนแรกมีค่า $(x, y) = (0,1)$ เท่ากับเมทริกซ์แถวแนวนอนที่ 0 แถวแนวตั้งที่ 1 จะแสดงให้เห็นการอ้างอิงจุดภาพของภาพ แสดงดังรูปที่ 6



รูปที่ 6 พิกัดที่ใช้อ้างอิงถึงภาพดิจิตอล ซึ่งมีการบอกร่องรอยตามแกนอ้างอิง xy เช่น จุดภาพที่อยู่ณ ตำแหน่งจุดกำหนดมีค่า $(x, y) = (0,0)$

2.2.2 ภาพระดับสีเทา (Grayscale Image)

ค่าของจุดภาพบนภาพระดับสีเทา คือ ค่าความเข้มของสี ณ แต่ละตำแหน่งของจุดภาพนั้น ซึ่งค่าที่เป็นไปได้ของภาพระดับสีเทาทั้งหมดขึ้นอยู่กับจำนวนบิตที่ใช้ ตัวอย่างเช่น ภาพระดับสีเทา 8 บิต จะมีระดับสีทั้งหมด 2^8 เท่ากับ 256 ระดับ โดยนิยมระบุในช่วง 0-1 หรือ 0-255 และคงดังรูปที่ 7



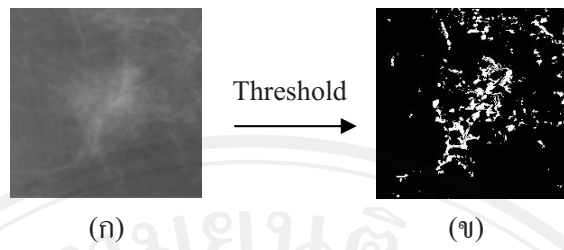
รูปที่ 7 ภาพระดับสีเทาที่มีระดับสีทั้งหมด 256 ระดับ โดยระบุในช่วง 0 (สีดำ) ถึง 255 (สีขาว)

2.2.3 ภาพขาว-ดำ (Binary Image)

ภาพขาว-ดำ เป็นภาพ 2 ระดับที่ประกอบไปด้วยสีขาวและสีดำ ซึ่งค่าในแต่ละจุดภาพของภาพขาว-ดำจะมีได้เพียง 2 ค่า คือ 0 และ 1 หรือ 0 และ 255 โดยที่ค่า 0 แทนจุดภาพสีดำและค่า 1 หรือ 255 แทนจุดภาพสีขาว ดังนั้นค่าในแต่ละจุดภาพจะใช้แค่ 1 บิตในการเก็บข้อมูล การมีค่าความเข้มเพียงสองระดับในภาพทำให้สามารถที่จะเลือกพิจารณาให้ความเข้มระดับหนึ่งแทนจุดภาพที่เราสนใจ (Foreground) และความเข้มอีกรอบหนึ่งแทนพื้นภาพ (Background)

2.2.4 การแบ่งกลุ่มของระดับความเข้ม

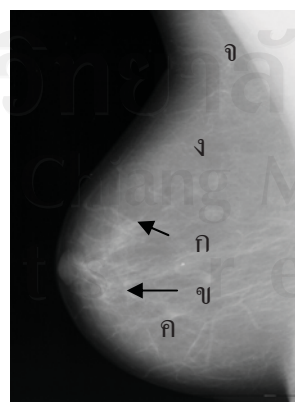
เป็นการแปลงภาพจากภาพระดับสีเทาให้เป็นภาพ 2 ระดับ (ภาพขาว-ดำ) เพื่อที่จะช่วยแยกบริเวณที่สนใจออกจากบริเวณที่เป็นพื้นภาพ เพื่อให้สามารถวิเคราะห์บริเวณที่สนใจได้ง่ายขึ้น และมีประโยชน์อีกอย่างคือ ช่วยลดเนื้อที่ในการเก็บข้อมูลภาพ กล่าวคือ ภาพที่มีระดับสีเทาจะใช้เนื้อที่ในการเก็บข้อมูลถึง 8 บิต หรือ 256 ระดับ แต่เมื่อสร้างเป็นภาพขาวดำแต่ละจุดจะใช้เนื้อที่การเก็บข้อมูลเพียง 1 บิต ซึ่งใช้พื้นที่น้อยลงถึง 8 เท่า การแบ่งกลุ่มของระดับความเข้มในภาพจะใช้วิธีการหาค่าปีดแบ่งจุดภาพ (Threshold) โดยนำค่าของจุดภาพแต่ละจุดภาพไปเปรียบเทียบกับค่าคงที่ค่าหนึ่งที่เรียกว่า ค่าปีดแบ่งจุดภาพ (Threshold value) ซึ่งหากค่าของจุดภาพที่กำลังพิจารณาอยู่มีค่า น้อยกว่าค่าปีดแบ่งจุดภาพ ค่าใหม่ของจุดภาพนั้นจะถูกกำหนดให้เป็น 0 ซึ่งก็คือสีดำ และถ้าหากค่าของจุดภาพที่กำลังพิจารณาอยู่มีค่ามากกว่าค่าปีดแบ่งจุดภาพ ค่าใหม่ของจุดภาพนั้นจะถูกกำหนดให้เป็น 1 ซึ่งก็คือสีขาว และคงดังรูปที่ 8



รูปที่ 8 การแปลงภาพจากภาพระดับสีเทามาเป็นภาพขาว-ดำ โดยใช้วิธีการหาค่าปิกแบ่งจุดภาพค่าของจุดภาพที่น้อยกว่าค่าปิกแบ่งจุดภาพจะถูกกำหนดเป็นสีดำและค่าของจุดภาพที่มากกว่าค่าปิกแบ่งจุดภาพจะถูกกำหนดเป็นสีขาว (ก) ภาพระดับสีเทา (ข) ภาพขาว-ดำ

2.3 ลักษณะโครงสร้างเชิงเส้น

โครงสร้างเชิงเส้น (Linear structure) ที่ปรากฏอยู่บนภาพถ่ายรังสีเต้านมเกิดจากโครงสร้างของอวัยวะที่อยู่ภายในเต้านมที่มีลักษณะเป็นเชิงเส้น ได้แก่ หลอดเลือด ห่อน้ำนม เนื้อแท้อวัยวะ เอ็นยีดพยุงต่อมน้ำนม และขอบของกล้ามเนื้อทรวงอก เมื่อคุณภาพถ่ายรังสีเต้านม พบว่า โครงสร้างเชิงเส้นเหล่านี้จะมองเห็นเป็นสีขาว ส่วนที่เป็นเนื้อเยื่อไขมันหรืออวากาศจะมองเห็นเป็นสีเทาไปจนถึงสีดำแสดงดังรูปที่ 9 สำหรับเต้านมที่มีความผิดปกติในลักษณะที่สงสัยว่าจะเป็นมะเร็งจะส่งผลต่อโครงสร้างเชิงเส้นที่ปรากฏอยู่บนภาพถ่ายรังสีเต้านมให้มีการแสดงออกในลักษณะที่ต่างจากไป เช่น มองเห็นเป็นเส้นเรียวแหลมคล้ายเข็ม (Spicule หรือ spiculate) หรือเป็นแฉกคล้ายรูปดาว (Stellate) ซึ่งลักษณะนี้อาจสะดلالถึงความผิดปกติที่เรียกว่า การผิดรูปของเนื้อเยื่อเต้านม ดังนั้นหากลักษณะเช่นนี้ปรากฏบนภาพถ่ายรังสีเต้านมก็เป็นสิ่งสำคัญที่นักอ dõiการผิดรูปของเนื้อเยื่อเต้านมซึ่งอาจเป็นสาเหตุเริ่มต้นของการเกิดโรคมะเร็งได้

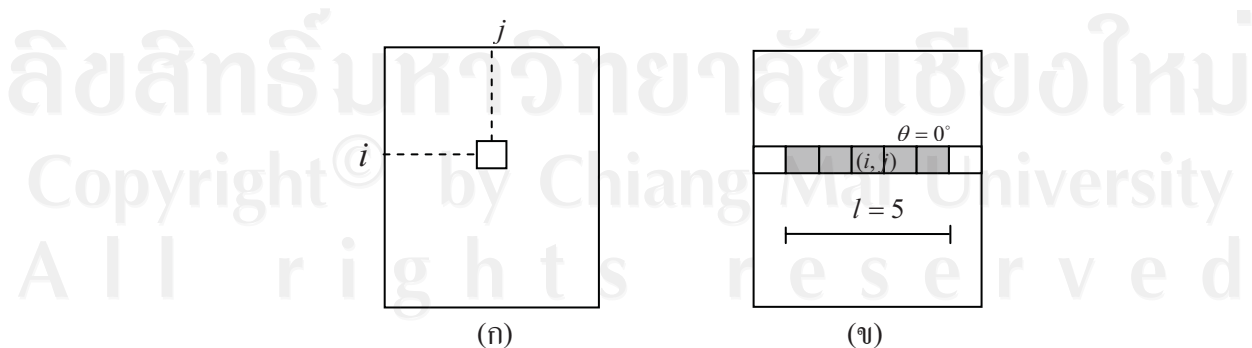


รูปที่ 9 โครงสร้างเชิงเส้นของอวัยวะภายในเต้านมที่ปรากฏอยู่บนภาพถ่ายรังสีเต้านม ประกอบด้วย (ก) Blood vessel (ข) Milk duct (ค) Mammary gland (จ) Fatty tissue (ก) Pectoral muscle

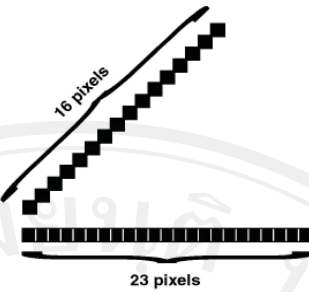
2.4 วิธีตรวจหาโครงสร้างเชิงเส้นบนภาพถ่ายรังสีเต้านมด้วย LSI

การตรวจหาเส้นบนภาพ (Line detection) เป็นอีกเทคนิคหนึ่งของการประมวลผลภาพ จุดภาพที่เป็นส่วนหนึ่งของเส้นจะมีขอบที่ต่อเนื่องกัน วิธีหาจุดภาพที่เป็นส่วนหนึ่งของเส้นทำโดยการวัดการเปลี่ยนแปลงของค่าความเข้มจุดภาพที่เป็นขอบเบรี่ยบเทียบกับจุดภาพข้างเคียง ตัวอย่างวิธีการหาขอบ เช่น Gradient method เป็นวิธีตรวจหาและดึงเออบริเวณที่เป็นขอบให้แสดงออกมา แต่พบว่า จุดภาพที่เป็นส่วนของเส้นที่มีความหนา Gradient method "ไม่สามารถทำได้ ด้วยเหตุนี้เองจึงทำให้ Liu และคณะ [14] คิดค้นวิธีการตรวจหาเส้นบนภาพขึ้นมาใหม่ โดยการออกแบบตัวกรองสำหรับตรวจหาเส้นปกติทั่วๆไปบนภาพถ่ายรังสีเต้านมทั้งหมด 16 ทิศทาง และพบว่าตัวกรองชนิดนี้สามารถตรวจหาเส้นปกติที่มีขนาดต่างๆได้ ต่อมานักวิจัยกลุ่มนี้จึงนำเสนอวิธีและหลักการสำหรับการตรวจหากลุ่มของจุดภาพที่เป็นส่วนของโครงสร้างเชิงเส้น Linear Structure Identification หรือ LSI โดยมีเงื่อนไข 3 ประการดังนี้ กลุ่มของจุดภาพเหล่านั้นต้องมีค่าความเข้มของจุดภาพที่ใกล้เคียงกันตามทิศทางของเส้น ค่าความเข้มของจุดภาพที่อยู่ล้อมรอบต้องแตกต่างจากค่าความเข้มของจุดภาพที่เป็นส่วนของเส้น และขนาดของเส้นที่ต้องการตรวจหานั้นจะต้องมีความยาวมากกว่าความกว้าง

วิธี LSI จะตรวจหากลุ่มของจุดภาพที่เป็นส่วนของโครงสร้างเชิงเส้นบนภาพถ่ายรังสีเต้านม โดยกลุ่มของจุดภาพที่เป็นส่วนของโครงสร้างเชิงเส้นจะต้องมีค่าของจุดภาพที่ใกล้เคียงกัน ซึ่งคุณสมบัตินี้แสดงออกด้วยค่าเบี่ยงเบนมาตรฐาน (Standard deviation หรือ $\sigma(\theta, l)$) ซึ่งมีขั้นตอนในการหาดังนี้ กำหนดให้ (i, j) เป็นตำแหน่งจุดภาพใดๆที่อยู่ในแถวแนวนอน i และแถวแนวดิ่ง j มี $f(i, j)$ เป็นค่าของจุดภาพที่ตำแหน่ง (i, j) และ $L(\theta, l)$ เป็นกลุ่มของจุดภาพที่วางตัวติดกันอยู่ในทิศทั้ม θ กับแนวระนาบซึ่งมีความยาวเท่ากับ l แสดงดังรูปที่ 10 และ 11



รูปที่ 10 (ก) ตำแหน่งจุดภาพใดๆที่อยู่ในแถวแนวนอน i และแถวแนวดิ่ง j (ข) กลุ่มของจุดภาพที่วางตัวติดกันอยู่ในทิศทัม $\theta = 0$ องศา กับแนวระนาบ และมีความยาว l เท่ากับ 5



รูปที่ 11 กลุ่มของจุดภาพที่วางตัวติดกันอยู่ในทิศทั่วไป $\theta = 0$ องศาและ 45 องศากับแนวระนาบ โดยมีความยาว l เท่ากัน

การหาค่าเบี่ยงเบนมาตรฐานของกลุ่มของจุดภาพนี้ จะแสดงดังสมการที่ 1 และ 2 เมื่อ กำหนดให้ $N_{L(\theta,l)}$ เป็นจำนวนจุดภาพทั้งหมดที่อยู่ใน $L(\theta,l)$ และ (m,n) เป็นตำแหน่งของจุดภาพ ใดๆ ที่เป็นสมาชิกของ $L(\theta,l)$ โดยมี $f(m,n)$ เป็นค่าของจุดภาพ และ $\bar{f}_{L(\theta,l)}$ เป็นค่าจุดภาพเฉลี่ยของ $L(\theta,l)$

$$\sigma(\theta,l) = \sqrt{\frac{1}{N_{L(\theta,l)} - 1} \sum_{(m,n) \in L(\theta,l)} (f(m,n) - \bar{f}_{L(\theta,l)})^2} \quad (1)$$

$$\bar{f}_{L(\theta,l)} = \frac{1}{N_{L(\theta,l)}} \sum_{(m,n) \in L(\theta,l)} f(m,n) \quad (2)$$

เมื่อ ได้ค่าเบี่ยงเบนมาตรฐานของกลุ่มจุดภาพแล้ว ต่อมาก็หาค่าเบี่ยงเบนมาตรฐานในมุม ต่างๆ ตั้งแต่ $0 - \pi$ เมื่อได้ค่าเบี่ยงเบนมาตรฐานในแต่ละมุมของมาแล้ว จะทำการเลือกค่าเบี่ยงเบน มาตรฐานที่มีค่าน้อยที่สุด เพื่อใช้เป็นค่าเบี่ยงเบนมาตรฐานของจุดภาพที่ตำแหน่ง (i,j) ซึ่งการ นำเอาค่าเบี่ยงเบนมาตรฐานน้อยที่สุดมาใช้คัดเลือกจุดภาพที่เป็นส่วนของโครงสร้างเชิงเส้นยังไม่ เพียงพอที่จะบอกว่าจุดภาพที่ตำแหน่ง (i,j) เป็นส่วนของโครงสร้างเชิงเส้น เนื่องจากจุดภาพที่ ตำแหน่ง (i,j) ดังกล่าวอาจอยู่ในบริเวณ Uniform region ซึ่งจุดภาพที่อยู่ในบริเวณ Uniform region จะมีค่าเบี่ยงเบนมาตรฐานน้อยที่สุดในมุมต่างๆ ไม่แตกต่างกัน แสดงดังรูปที่ 12 มีการเปรียบเทียบ ค่าเบี่ยงเบนมาตรฐานน้อยที่สุดของจุดภาพที่ตำแหน่ง (i,j) บริเวณ Uniform region, Thick line และ Thin line ในมุมต่างๆ ตั้งแต่ 0 จนถึง 180 องศา พนว่า จุดภาพที่วางตัวอยู่บนเส้น Thin line จะมี ความแตกต่างของค่าเบี่ยงเบนมาตรฐานน้อยที่สุดในมุมต่างๆ ค่อนข้างมาก เช่นเดียวกับจุดภาพที่

วางแผนตัวอยู่บนเส้น Thick line แต่สำหรับจุดภาพที่อยู่ในบริเวณ Uniform region จะมีค่าเบี้ยงเบนมาตรฐานน้อยที่สุดในมุมต่างๆ ไม่แตกต่างกัน นอกจากนี้ยังพบว่าจุดภาพที่อยู่ในบริเวณ Uniform region จะมีค่าเบี้ยงเบนมาตรฐานน้อยที่สุดในมุมต่างๆ เท่ากับศูนย์

นอกจากค่าเบี้ยงเบนมาตรฐานน้อยที่สุดในมุมต่างๆแล้ว ยังต้องหาค่าความแปรปรวนของค่าเบี้ยงเบนมาตรฐานน้อยที่สุด $\sigma^2_{\sigma(i,j)}(l)$ ในมุมต่างๆ ด้วย ตามสมการที่ 3 และ 4 เพื่อที่จะนำมาใช้คัดเลือกจุดภาพที่เป็นส่วนของโครงสร้างเชิงเส้น โดยจุดภาพใดก็ตามมีค่าความแปรปรวนของค่าเบี้ยงเบนมาตรฐานน้อยที่สุดค่อนข้างน้อย จุดภาพนั้นมีความเป็นไปได้ที่จะเป็นส่วนของโครงสร้างเชิงเส้น และในทางตรงกันข้ามจุดภาพใดก็ตามมีค่าความแปรปรวนของค่าเบี้ยงเบนมาตรฐานน้อยที่สุดค่อนข้างน้อย จุดภาพนั้นจะเป็นส่วนของ Uniform region

$$\sigma^2_{\sigma(i,j)}(l) = \int_0^\pi \left\{ (\sigma_{i,j}(\theta, l) - \bar{\sigma}_{i,j}(l))^2 \frac{1}{\pi} \right\} d\theta \quad (3)$$

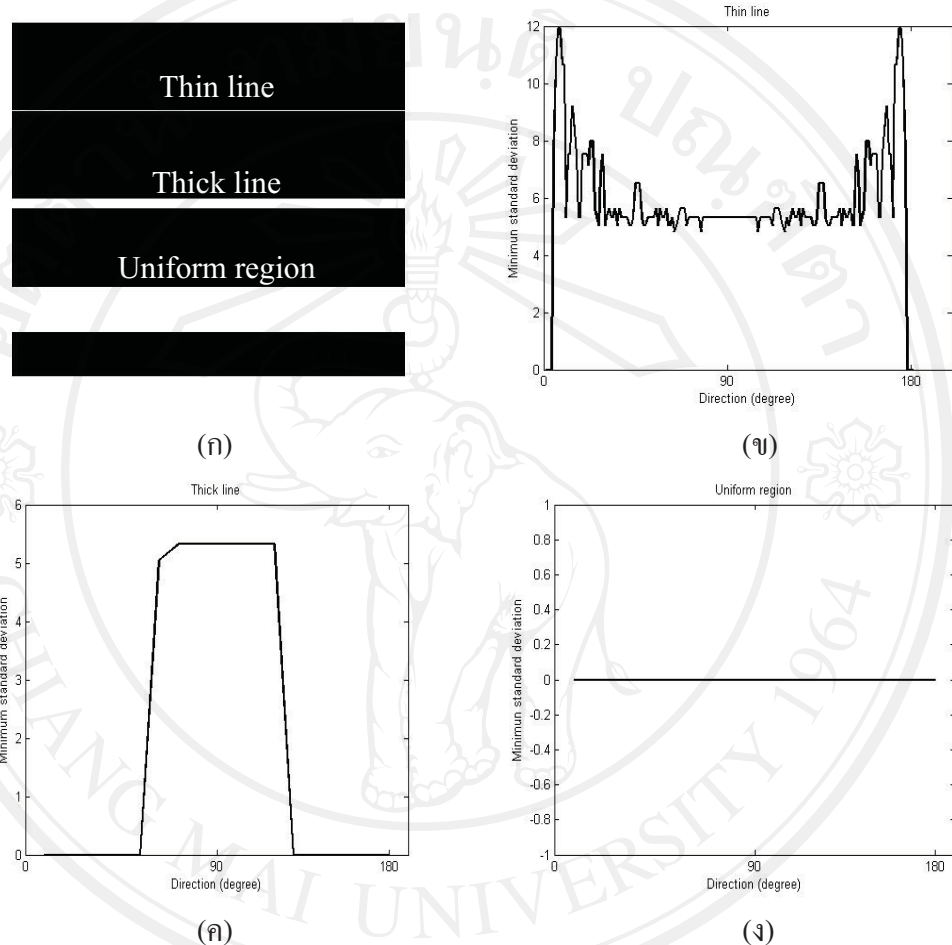
$$\bar{\sigma}_{i,j}(l) = \int_0^\pi \left\{ \sigma_{i,j}(\theta, l) \frac{1}{\pi} \right\} d\theta \quad (4)$$

ดังนั้นการเลือกกลุ่มของจุดภาพที่เป็นส่วนของโครงสร้างเชิงเส้นจะพิจารณาจากค่าเบี้ยงเบนมาตรฐานน้อยที่สุดและค่าความแปรปรวนของค่าเบี้ยงเบนมาตรฐานน้อยที่สุดในมุมต่างๆ ตามสมการที่ 5 ซึ่งมีอยู่ว่า กลุ่มของจุดภาพใดๆก็ตาม $D(i, j)$ จะเป็นส่วนของโครงสร้างเชิงเส้นได้ จะต้องมีค่าเบี้ยงเบนมาตรฐานน้อยที่สุดน้อยกว่าค่าขีดแบ่ง T_σ และมีค่าความแปรปรวนของค่าเบี้ยงเบนมาตรฐานน้อยที่สุดมากกว่าค่าขีดแบ่ง T_{σ_σ}

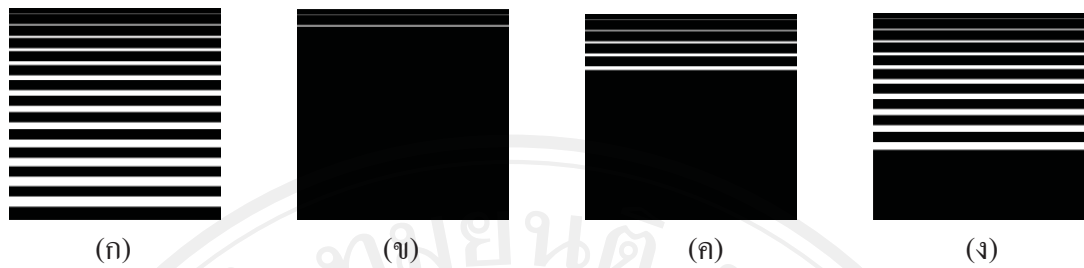
$$D(i, j) = \begin{cases} 1 & \text{if } \sigma_{i,j}(l) < T_\sigma \text{ and } \sigma_{\sigma(i,j)}(l) > T_{\sigma_\sigma} \\ 0 & \text{Otherwise} \end{cases} \quad (5)$$

กลุ่มของจุดภาพที่เป็นส่วนของโครงสร้างเชิงเส้นที่ได้จาก LSI จะถูกนำมาเปรียบเทียบกับค่าความแปรปรวนของค่าเบี้ยงเบนมาตรฐานและค่าการกระจายของมุมที่มีค่าเบี้ยงเบนมาตรฐานน้อยที่สุด เพื่อศึกษาการแสดงออกของคุณลักษณะเชิงเส้นที่ปรากฏบนภาพถ่ายรังสีเต้านมบริเวณเนื้อเยื่อปกติกับบริเวณเนื้อเยื่อที่มีการผิดรูป ตัวอย่าง การนำเอารูป LSI ไปตรวจหากลุ่มของจุดภาพที่เป็นส่วนของโครงสร้างเชิงเส้นบนภาพจำลองที่มีขนาดเส้นตรงต่างกัน และดังรูป 13 พนวาร์ชี LSI สามารถตรวจหากลุ่มของจุดภาพที่เป็นส่วน

ของโครงสร้างเชิงเส้นที่มีความยาว l ตั้งแต่ 1 จุดภาพไปจนถึง $l-1$ จุดภาพ สำหรับจุดภาพที่มีความยาวมากกว่า l จะถูกพิจารณาให้เป็นส่วนของพื้นภาพหรือ Uniform region แทน



รูปที่ 12 (ก) กลุ่มของจุดภาพที่เป็นส่วนของโครงสร้างเชิงเส้นในบริเวณต่างๆ ได้แก่ บริเวณ Uniform region, เส้น Thin line ขนาด 1 จุดภาพ และเส้น Thick line ขนาด 10 จุดภาพ
 (บ) ค่าเบี่ยงเบนมาตรฐานน้อยที่สุดของจุดภาพที่อยู่บนเส้น Thin line ขนาด 1 จุดภาพ
 (ค) ค่าเบี่ยงเบนมาตรฐานน้อยที่สุดของจุดภาพที่อยู่บนเส้น Thick line ขนาด 10 จุดภาพ
 และ (ง) ค่าเบี่ยงเบนมาตรฐานน้อยที่สุดของจุดภาพที่วางอยู่บริเวณ Uniform region



รูปที่ 13 ตัวอย่างภาพจำลองและผลจากการตรวจหากลุ่มของจุดภาพที่เป็นส่วนของโครงสร้างเชิงเส้น (ก) ภาพจำลองที่มีขนาดเส้นตรงต่างกัน เริ่มจากเส้นขนาด 1 จุดภาพ เพิ่มขึ้นทีละ 2 จุดภาพไปจนถึงขนาด 25 จุดภาพ (ข) ผลที่ได้จากการตรวจหากลุ่มของจุดภาพที่เป็นส่วนของโครงสร้างเชิงเส้นเมื่อกำหนดค่า $I=5$ (ค) ผลที่ได้จากการตรวจหากลุ่มของจุดภาพที่เป็นส่วนของโครงสร้างเชิงเส้นเมื่อกำหนดค่า $I=10$ (ง) ผลที่ได้จากการตรวจหากลุ่มของจุดภาพที่เป็นส่วนของโครงสร้างเชิงเส้นเมื่อกำหนดค่า $I=20$